Датчик магнитного поля для пневмоцилиндров BIM-UNC-AP6X-0.3-RS4

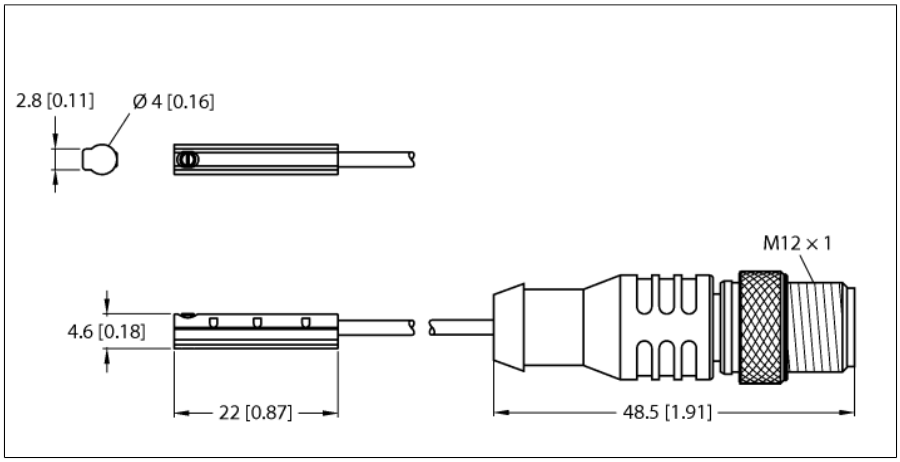

- Для цилиндров SMC с C-образным пазом без монтажных аксессуаров
- Возможность монтажа при помощи одной руки
- Надежное крепление
- магнито-резистивный датчик
- Постоянный ток, 3-проводн., 11…30 В DC
- НО контакт, PNP выход
- Отрезок кабеля с вилкой M12 x 1

Схема подключения

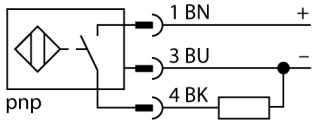

Тип	BIM-UNC-AP6X-0.3-RS4
ID №	100001906
Основные данные	
Скорость прохождения	≤ 0.3 м/с
Повторяемость	≤ ± 0.1 мм
Температурный дрейф	≤ 0.3 мм
Гистерезис	≤ 1 мм
Электрические параметры	
Рабочее напряжение	11…30 В =
Остаточная пульсация	≤ 10 % U_{ss}
Номинальный рабочий ток (DC)	≤ 100 мА
Остаточный ток	≤ 0.1 мА
Испытательное напряжение изоляции	0.5 кВ
Защита от короткого замыкания	да/Циклический
Падение напряжения при I_e	≤ 1.8 В
Защита от обрыва / обратной полярности	да/Полный
Выходная функция	3-проводн., НО контакт, PNP
Частота переключения	0.02 кГц
Механические характеристики	
Конструкция	Прямоугольный, UNC
Размеры	22 x 4 x 4.6 мм
Материал корпуса	Пластмасса,PP-GF20
Материал активной поверхности	пластик, PP-GF20
Крутящий момент затяжки пары гайка/винт	0.1 Нм
Электрическое подключение	Кабель с разъемом, M12 × 1
Качество кабеля	Ø 2 мм, Серый, Lif9Y-11Y, ПУР, 0.3 м
Поперечное сечение проводника	3x0.08 мм²
Многожильный провод	40x0.05мм²

Принцип действия

Датчики магнитного поля активируются магнитными полями и служат для обнаружения положения поршня в пневмоцилиндре. Так как магнитные поля проникают сквозь не намагничивающиеся металлы, то датчик обнаруживает постоянный магнит через алюминиевые стенки цилиндра.

Отклонение от номинальных параметров

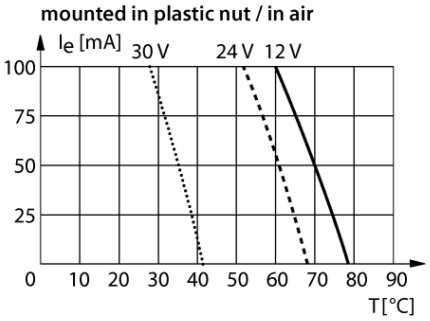

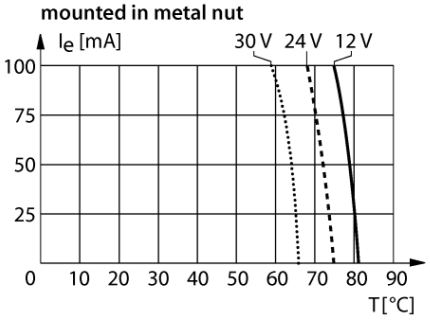

Edition • 2025-05-28T14:45:38+02:00

Условия окружающей среды	
Температура окружающей среды	-25…+70 °C
Вибростойкость	55 Гц (1 мм)
Ударопрочность	30 g (11 мс)
Степень защиты	IP67
Средняя наработка до отказа	2283лет в соответствии с SN 29500-(Изд. 99) 40 °C

Монтаж на цилиндры след.сечений	
Цилиндрический дизайн	
Индикация состояния переключения	светодиод, Желтый
В объем поставки включены:	Кабельный зажим

Edition • 2025-05-28T14:45:38+02:00